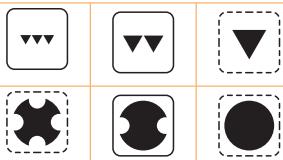
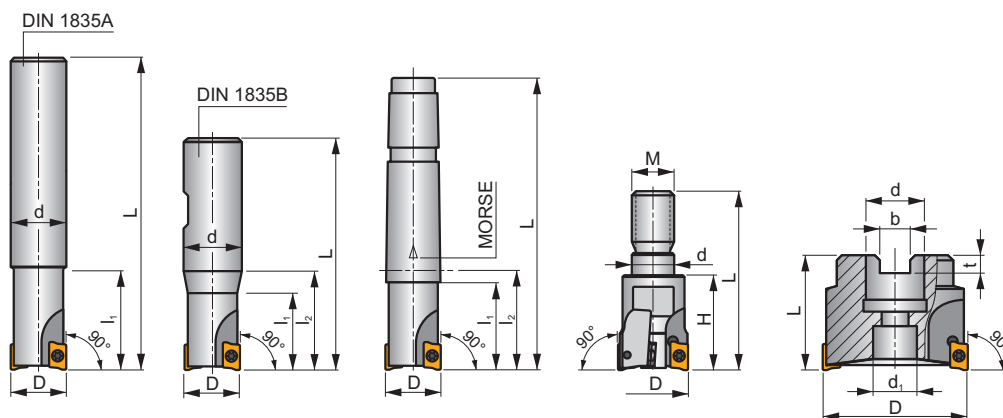
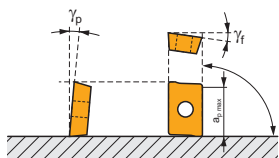


SAD11E

P M K N S H



κ_r	90°
a_{pmax}	9,0 mm



h_m	0,08 - 0,16
h_m	0,06 - 0,13



ISO	D	L	d	d_1	l_1	l_2	H	M	γ_f°	γ_p°	Morse			max.		kg			
16A2R024A14-SAD11E-C	16	160	14	-	24	-	-	-	-12,8	+4	-	2	-	30100	✓	0,21	GI169	SQ025	-
16A2R024A16-SAD11E-C	16	135	16	-	24	-	-	-	-12,8	+4	-	2	-	30100	✓	0,09	GI169	SQ025	-
16A2R050A16-SAD11E-C	16	135	16	-	50	-	-	-	-12,8	+4	-	2	-	30100	✓	0,21	GI169	SQ025	-
18A2R029A20-SAD11E-C	18	150	20	-	29	-	-	-	-12	+4,5	-	2	-	28400	✓	0,35	GI169	SQ025	-
20A2R029A20-SAD11E-C	20	150	20	-	29	-	-	-	-11,5	+5	-	2	-	27000	✓	0,13	GI169	SQ020	-
20A2R070A20-SAD11E-C	20	150	20	-	70	-	-	-	-11,5	+5	-	2	-	27000	✓	0,32	GI169	SQ020	-
20A3R029A18-SAD11E-C	20	200	18	-	29	-	-	-	-11,5	+5	-	3	-	27000	✓	0,38	GI169	SQ025	-
20A3R029A20-SAD11E-C	20	150	20	-	29	-	-	-	-11,5	+5	-	3	-	27000	✓	0,13	GI169	SQ025	-
22A3R029A20-SAD11E-C	22	200	20	-	29	-	-	-	-11,5	+5	-	3	-	25600	✓	0,49	GI169	SQ025	-
25A3R034A25-SAD11E-C	25	170	25	-	34	-	-	-	-10,2	+5	-	3	-	24100	✓	0,42	GI169	SQ020	-
25A3R080A25-SAD11E-C	25	170	25	-	80	-	-	-	-10,2	+5	-	3	-	24100	✓	0,55	GI169	SQ020	-
25A4R034A25-SAD11E-C	25	170	25	-	34	-	-	-	-10,2	+5	-	4	-	24100	✓	0,42	GI169	SQ025	-
25A4R040A25-SAD11E-C	25	250	25	-	40	-	-	-	-10,2	+5	-	4	-	24100	✓	0,86	GI169	SQ025	-
30A3R080A32-SAD11E-C	30	200	32	-	80	-	-	-	-9,3	+7	-	3	-	22000	✓	1,02	GI169	SQ020	-
32A3R090A32-SAD11E-C	32	195	32	-	90	-	-	-	-9	+5	-	3	-	21300	✓	1,01	GI169	SQ020	-
32A5R034A32-SAD11E-C	32	195	32	-	34	-	-	-	-9	+8	-	5	-	21300	✓	1,03	GI169	SQ025	-
35A5R025A32-SAD11E-C	35	200	32	-	25	-	-	-	-9	+8	-	5	-	20300	✓	1,16	GI169	SQ020	-
16A2R027B16-SAD11E-C	16	75	16	-	27	-	-	-	-12,8	+4	-	2	-	30100	✓	0,09	GI169	SQ025	-
20A2R032B20-SAD11E-C	20	82	20	-	32	-	-	-	-11,5	+5	-	2	-	27000	✓	0,13	GI169	SQ020	-
20A3R032B20-SAD11E-C	20	82	20	-	32	-	-	-	-11,5	+5	-	3	-	27000	✓	0,13	GI169	SQ025	-
25A3R042B25-SAD11E-C	25	98	25	-	42	-	-	-	-10,2	+5	-	3	-	24100	✓	0,50	GI169	SQ020	-
25A4R042B25-SAD11E-C	25	98	25	-	42	-	-	-	-10,2	+5	-	4	-	24100	✓	0,31	GI169	SQ025	-
32A4R042B32-SAD11E-C	32	102	32	-	42	-	-	-	-9	+8	-	4	-	21300	✓	0,27	GI169	SQ020	-
32A5R042B32-SAD11E-C	32	102	32	-	42	-	-	-	-9	+8	-	5	-	21300	✓	0,52	GI169	SQ025	-
16A2R030E02-SAD11E-C	16	94	-	-	25	30	-	-	-12,8	+4	2	2	-	30100	✓	0,15	GI169	SQ025	-
20A3R035E03-SAD11E-C	20	116	-	-	30	35	-	-	-11,5	+5	3	3	-	27000	✓	0,28	GI169	SQ025	-
25A4R043E03-SAD11E-C	25	124	-	-	38	43	-	-	-10,2	+5	3	4	-	24100	✓	0,32	GI169	SQ025	-
16A2R024M08-SAD11E-C	16	38	8,5	-	-	24	M8	-	-12,8	+4	-	2	-	-	✓	0,10	GI169	SQ025	-
20A2R026M10-SAD11E-C	20	45	11	-	-	26	M10	-	-11,5	+5	-	2	-	-	✓	0,09	GI169	SQ020	-
20A3R026M10-SAD11E-C	20	45	10,5	-	-	26	M10	-	-11,5	+5	-	3	-	-	✓	0,11	GI169	SQ025	-
25A3R033M12-SAD11E-C	25	55	12,5	-	-	33	M12	-	-10,2	+5	-	3	-	-	✓	0,15	GI169	SQ020	-
25A4R033M12-SAD11E-C	25	55	12,5	-	-	33	M12	-	-10,2	+5	-	4	-	-	✓	0,09	GI169	SQ025	-

ISO	D	L	d	d ₁	l ₁	l ₂	H	M	γ _f °	γ _p °	Morse					kg			
32A4R043M16-SAD11E-C	32	66	17	-	-	-	43	M16	-9	+8	-	4	-	-	✓	0,26	GI169	SQ020	-
32A5R043M16-SAD11E-C	32	66	17	-	-	-	43	M16	-9	+8	-	5	-	-	✓	0,21	GI169	SQ025	-
40A4R043M16-SAD11E-C	40	66	17	-	-	-	43	M16	-8,1	+11	-	4	-	-	✓	0,31	GI169	SQ020	-
40A6R043M16-SAD11E-C	40	66	17	-	-	-	43	M16	-8,1	+11	-	6	-	-	✓	0,21	GI169	SQ020	-
40A04R-S90AD11E-C	40	40	16	14	-	-	-	-	-8,1	+11	-	4	✓	19100	✓	0,16	GI169	SQ022	-
40A05R-S90AD11E-C	40	40	16	14	-	-	-	-	-8,1	+11	-	5	✓	19000	✓	0,32	GI169	SQ022	-
40A06R-S90AD11E-C	40	40	16	14	-	-	-	-	-8,1	+11	-	6	✓	19100	✓	0,16	GI169	SQ022	-
50A05R-S90AD11E-C	50	40	22	18	-	-	-	-	-7,2	+12	-	5	✓	17000	✓	0,31	GI169	SQ023	-
50A07R-S90AD11E-C	50	40	22	18	-	-	-	-	-7,2	+12	-	7	✓	17000	✓	0,45	GI169	SQ023	-
63A06R-S90AD11E-C	63	40	22	18	-	-	-	-	-6,5	+12	-	6	✓	15200	✓	0,54	GI169	SQ023	-
63A09R-S90AD11E-C	63	40	22	18	-	-	-	-	-6,5	+12	-	9	✓	15200	✓	0,63	GI169	SQ023	-
80A10R-S90AD11E-C	80	50	27	38	-	-	-	-	-6	+12	-	10	✓	13500	✓	1,06	GI169	SQ021	AC001
100A11R-S90AD11E-C	100	50	32	45	-	-	-	-	-5,5	+12	-	11	✓	12100	✓	1,89	GI169	SQ021	AC002
125A12R-S90AD11E-C	125	63	40	56	-	-	-	-	-5,2	+12	-	12	✓	10800	✓	2,97	GI169	SQ021	AC003

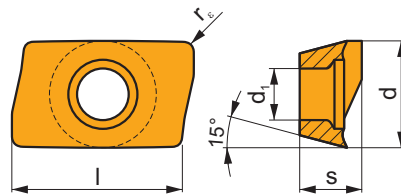
GI169	ADMX 11T3..	ADEX 11T3..

SQ020	US 62506-T07P	1,2	M 2,5	6	-	-	Flag T07P	-
SQ021	US 62506-T07P	1,2	M 2,5	6	D-T07P/T09P	FG-15	-	-
SQ022	US 62506-T07P	1,2	M 2,5	6	D-T07P/T09P	FG-15	-	HS 0830C
SQ023	US 62506-T07P	1,2	M 2,5	6	D-T07P/T09P	FG-15	-	HS 1030C
SQ025	US 62505-T07P	1,2	M 2,5	5	-	-	Flag T07P	-

AC001	KS 1230	K.FMH27
AC002	KS 1635	K.FMH32
AC003	KS 2040	K.FMH40

ADMX 11

	d	d ₁	l	s
11T3	6,530	2,90	11,00	3,97



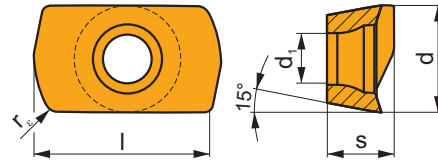
		ISO		P	M	K	N	S	H			r _c	f _{min}	f _{max}	a _{p min}	a _{p max}
		ADMX 11T304SR-F		■	■	■	■	■	■	●	---	0,4	0,07	0,10	0,2	9,0
				■	■	■	■	■	●	-	0,4	0,07	0,12	0,2	9,0	
				■	■	■	□	□	●	-	0,4	0,07	0,12	0,2	9,0	
				■	■	■	■	■	●	+/-	0,4	0,07	0,12	0,2	9,0	
				■	■	■	■	■	●	-	0,4	0,07	0,12	0,2	9,0	
		ADMX 11T308SR-F		■	■	■	■	■	■	●	---	0,8	0,07	0,10	0,2	9,0
				■	■	■	□	□	●	-	0,8	0,07	0,12	0,2	9,0	
				■	■	■	■	■	●	+/-	0,8	0,07	0,12	0,2	9,0	
				■	■	■	■	■	●	-	0,8	0,07	0,12	0,2	9,0	
				■	■	■	□	□	●	-	0,8	0,07	0,12	0,2	9,0	

		ISO		P	M	K	N	S	H			r_c	f_{min}	f_{max}	$a_{p min}$	$a_{p max}$		
 		ADMX 11T302SR-M	M8330	■	■	■	□			●	-	0,2	0,10	0,14	0,2	9,0		
			M8340	■	■	■	■	■			●	+/-	0,2	0,10	0,14	0,2	9,0	
		ADMX 11T304SR-M	M9325	■	■	■	■	■			●	---	0,4	0,10	0,14	0,2	9,0	
			M9340	■	■	■	■	■			●	---	0,4	0,10	0,14	0,2	9,0	
			M8310	■	■	■	■	■			●	-	0,4	0,10	0,18	0,2	9,0	
			M8330	■	■	■	□				●	-	0,4	0,10	0,18	0,2	9,0	
			M8340	■	■	■	■	■			●	+/-	0,4	0,10	0,18	0,2	9,0	
			8215	■	■	■	■	■			●	-	0,4	0,10	0,18	0,2	9,0	
			8230	■	■	■	■	■			●	-	0,4	0,10	0,18	0,2	9,0	
			ADMX 11T308SR-M	M5315	■	■	■					●	---	0,8	0,10	0,14	0,2	9,0
		M9315		■	■	■					●	---	0,8	0,10	0,14	0,2	9,0	
		M9325		■	■	■	■	■			●	---	0,8	0,10	0,14	0,2	9,0	
		M9340		■	■	■	■	■			●	---	0,8	0,10	0,14	0,2	9,0	
		M8310		■	■	■	■	■			●	-	0,8	0,10	0,18	0,2	9,0	
		M8330		■	■	■	□				●	-	0,8	0,10	0,18	0,2	9,0	
		M8340		■	■	■	■	■			●	+/-	0,8	0,10	0,18	0,2	9,0	
		8215		■	■	■	■	■			●	-	0,8	0,10	0,18	0,2	9,0	
		ADMX 11T310SR-M	M8330	■	■	■	□				●	*	-	1,0	0,10	0,22	0,2	9,0
			M8340	■	■	■	■	■			●	*	+/-	1,0	0,10	0,22	0,2	9,0
		ADMX 11T312SR-M	M8330	■	■	■	□				●	*	-	1,2	0,10	0,22	0,2	9,0
M8340	■		■	■	■	■			●	*	+/-	1,2	0,10	0,22	0,2	9,0		
ADMX 11T316SR-M	8215	■	■	■	■	■			●	*	-	1,2	0,10	0,22	0,2	9,0		
	M6330	■	■	■	■	■			●	*	-	1,6	0,10	0,22	0,2	9,0		
	M8310	■	■	■	■	■			●	*	-	1,6	0,10	0,22	0,2	9,0		
	M8330	■	■	■	□				●	*	-	1,6	0,10	0,22	0,2	9,0		
	M8340	■	■	■	■	■			●	*	+/-	1,6	0,10	0,22	0,2	9,0		
ADMX 11T320SR-M	8215	■	■	■	■	■			●	*	-	1,6	0,10	0,22	0,2	9,0		
	M6330	■	■	■	■	■			●	*	-	2,0	0,10	0,22	0,2	9,0		
	M8330	■	■	■	□				●	*	-	2,0	0,10	0,22	0,2	9,0		
	M8340	■	■	■	■	■			●	*	+/-	2,0	0,10	0,22	0,2	9,0		
ADMX 11T325SR-M	M6330	■	■	■	■	■			●	*	-	2,5	0,10	0,22	0,2	9,0		
	M8330	■	■	■	□				●	*	-	2,5	0,10	0,22	0,2	9,0		
	M8340	■	■	■	■	■			●	*	+/-	2,5	0,10	0,22	0,2	9,0		
ADMX 11T330SR-M	M6330	■	■	■	■	■			●	*	-	3,0	0,10	0,22	0,2	9,0		
	M8330	■	■	■	□				●	*	-	3,0	0,10	0,22	0,2	9,0		
	M8340	■	■	■	■	■			●	*	+/-	3,0	0,10	0,22	0,2	9,0		
ADMX 11T308PR-R	M5315	■	■	■			■		●	*	---	0,8	0,15	0,20	0,8	9,0		
	M9315	■	■	■			■		●	*	---	0,8	0,15	0,20	0,8	9,0		
	M9325	■	■	■	■	■			●	*	---	0,8	0,15	0,20	0,8	9,0		
	M8310	■	■	■	■	■			●	*	-	0,8	0,15	0,25	0,8	9,0		
	M8330	■	■	■	□	■			●	*	-	0,8	0,15	0,25	0,8	9,0		
	M8340	■	■	■	■	■			●	*	+/-	0,8	0,15	0,25	0,8	9,0		
	8215	■	■	■	■	■		■	●	*	-	0,8	0,15	0,25	0,8	9,0		
	ADMX 11T316PR-R	M9325	■	■	■	■	■			●	*	---	1,6	0,15	0,20	0,8	9,0	
M8330		■	■	■	□	■			●	*	-	1,6	0,15	0,25	0,8	9,0		
M8340		■	■	■	■	■			●	*	+/-	1,6	0,15	0,25	0,8	9,0		
8215		■	■	■	■	■		■	●	*	-	1,6	0,15	0,25	0,8	9,0		
ADMX 11T304SR-MF	M9340	■	■	■	■	■			●	*	---	0,4	0,05	0,12	0,2	9,0		
	M6330	■	■	■	■	■			●	*	-	0,4	0,05	0,14	0,2	9,0		
	M8340	■	■	■	■	■			●	*	+/-	0,4	0,05	0,14	0,2	9,0		
ADMX 11T308SR-MF	M9340	■	■	■	■	■			●	*	---	0,8	0,05	0,12	0,2	9,0		
	M6330	■	■	■	■	■			●	*	-	0,8	0,05	0,14	0,2	9,0		
	M8340	■	■	■	■	■			●	*	+/-	0,8	0,05	0,14	0,2	9,0		

i		ISO		P	M	K	N	S	H			r_c	f_{min}	f_{max}	$a_{p min}$	$a_{p max}$	
 		ADMX 11T304SR-MM	M9340	█	█			█		●	---	0,4	0,10	0,15	0,2	9,0	
			M6330	█	█			█		●	-	0,4	0,10	0,18	0,2	9,0	
			M8340	█	█			█		●	+/-	0,4	0,10	0,18	0,2	9,0	
		ADMX 11T308SR-MM	M9340	█	█			█		●	---	0,8	0,10	0,15	0,2	9,0	
			M6330	█	█			█		●	-	0,8	0,10	0,18	0,2	9,0	
			M8340	█	█			█		●	+/-	0,8	0,10	0,18	0,2	9,0	
	ADMX 11T312SR-MM	M8345	█	█			█		●	+/-	0,8	0,10	0,18	0,2	9,0		
		M9340	█	█			█		●	---	1,2	0,10	0,15	0,2	9,0		
		M6330	█	█			█		✘	-	1,2	0,10	0,18	0,2	9,0		
				M8340	█	█			█		✘	+/-	1,2	0,10	0,18	0,2	9,0
				M8345	█	█			█		✘	+/-	1,2	0,10	0,18	0,2	9,0

ADEX 11-HF

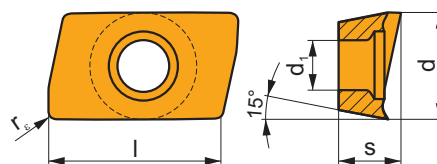
	d	d ₁	l	s
11T3	6,450	2,90	10,67	3,82



i		ISO		P	M	K	N	S	H			r_c	f_{min}	f_{max}	$a_{p min}$	$a_{p max}$		
 		ADEX 11T308SR-HF	M9340	█	█			█		●	---	0,8	0,40	1,11	0,1	0,6		
			M6330	█	█			█		●	-	0,8	0,40	1,30	0,1	0,6		
			M8310	█	█			█	█	█		●	-	0,8	0,40	1,30	0,1	0,6
			M8330	█	█			█		█		●	-	0,8	0,40	1,30	0,1	0,6
			M8340	█	█			█		█		●	+/-	0,8	0,40	1,30	0,1	0,6
			8215	█	█			█	█	█		●	-	0,8	0,40	1,30	0,1	0,6
	ADEX 11T308SR-HF2	8230	█	█			█	█	█		●	-	0,8	0,40	1,30	0,1	0,6	
		M9325	█	█					█		●	---	0,8	0,40	1,17	0,2	0,6	
		M9340	█	█					█		●	---	0,8	0,40	1,17	0,2	0,6	
		M8310	█	█					█	█	●	-	0,8	0,40	1,30	0,2	0,6	
 		ADEX 11T308SR-HF2	M8330	█	█			█	█	●	-	0,8	0,40	1,30	0,2	0,6		
			M8340	█	█					█		●	+/-	0,8	0,40	1,30	0,2	0,6
			8230	█	█					█	█	●	-	0,8	0,40	1,30	0,2	0,6

ADEX 11-FA

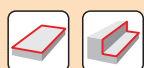
	d	d ₁	l	s
11T3	6,450	2,90	9,70	3,91



i	ISO	Material	Material Group						Coating	Surface Treatment	r _e	f _{min}	f _{max}	a _{p min}	a _{p max}
			P	M	K	N	S	H							
	ADEX 11T304FR-FA	M0315 HF7				■		●	++	0,4	0,03	0,30	0,4	9,0	
	ADEX 11T308FR-FA	M0315 HF7				■		●	++	0,8	0,03	0,30	0,2	9,0	
	ADEX 11T312FR-FA	M0315 HF7				■		●	+/-	1,2	0,03	0,30	0,2	9,0	
	ADEX 11T316FR-FA	HF7				■		●	+/-	1,6	0,03	0,30	0,2	9,0	
									●	+/-	1,6	0,03	0,30	0,2	9,0

ISO	f _{min}	f _{max}	M5315	M9315	M9325	M9340	M0315	M6330	M8310	M8330	M8340	M8345	8215	8230	HF7	
P	●	0,07	0,18	392	392	347	311	-	266	329	333	284	225	311	297	-
	●	0,07	0,15	365	356	306	279	-	239	297	298	252	198	275	266	-
	✘	0,07	0,10	333	324	270	248	-	207	266	258	221	176	243	230	-
M	●	0,07	0,18	-	-	176	185	-	189	167	190	167	135	185	176	72
	●	0,07	0,15	-	-	158	167	-	167	149	171	149	117	167	158	63
	✘	0,07	0,10	-	-	135	149	-	144	135	151	131	104	144	140	54
K	●	0,07	0,18	374	374	-	-	-	311	318	270	-	293	284	117	
	●	0,07	0,15	347	338	-	-	-	284	282	239	-	261	252	104	
	✘	0,07	0,10	320	306	-	-	-	252	248	207	-	230	221	90	
N	●	0,07	0,18	-	-	-	-	684	-	-	837	-	-	774	747	306
	●	0,07	0,15	-	-	-	-	612	-	-	746	-	-	693	666	275
	✘	0,07	0,10	-	-	-	-	536	-	-	651	-	-	612	581	239
S	●	0,07	0,18	-	-	86	90	-	95	81	93	81	68	90	86	36
	●	0,07	0,15	-	-	77	81	-	81	72	83	72	59	81	77	32
	✘	0,07	0,10	-	-	68	72	-	72	68	73	63	50	72	68	27
H	●	0,07	0,18	77	77	-	-	-	-	63	59	-	-	59	59	23
	●	0,07	0,15	72	68	-	-	-	-	59	50	-	-	54	50	18
	✘	0,07	0,10	63	63	-	-	-	-	50	45	-	-	45	45	18

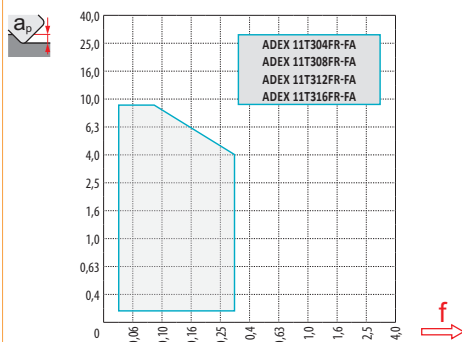
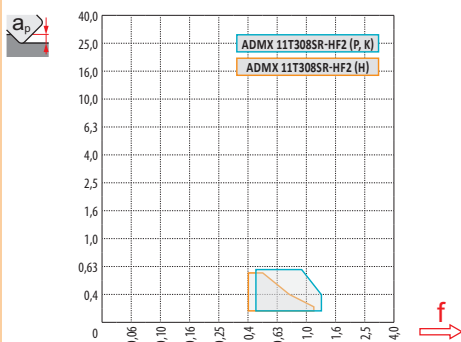
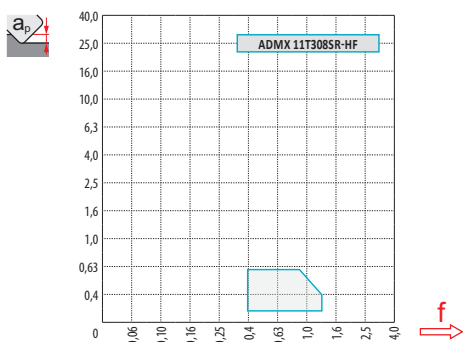
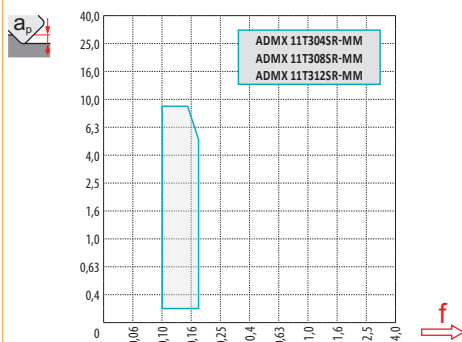
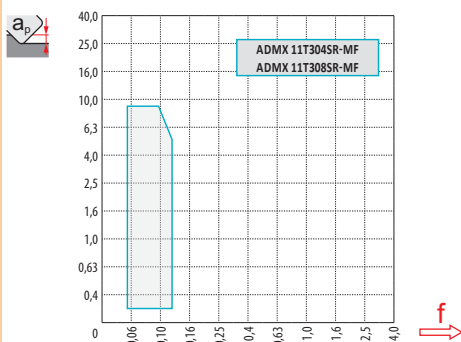
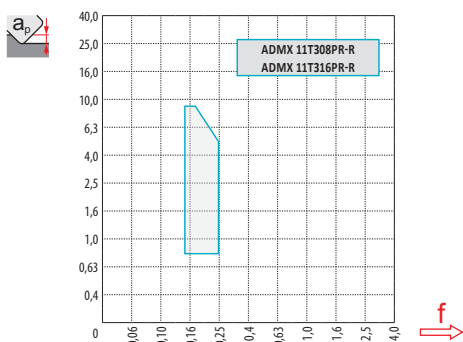
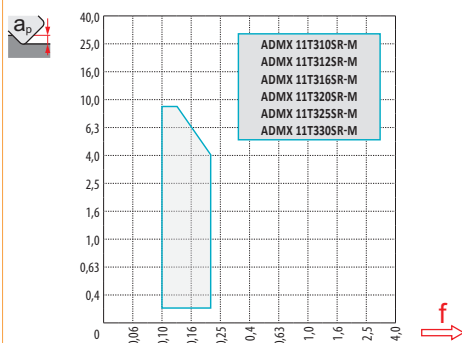
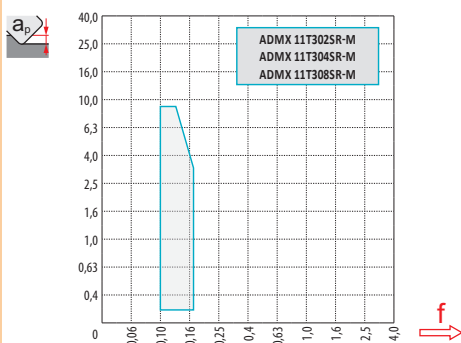
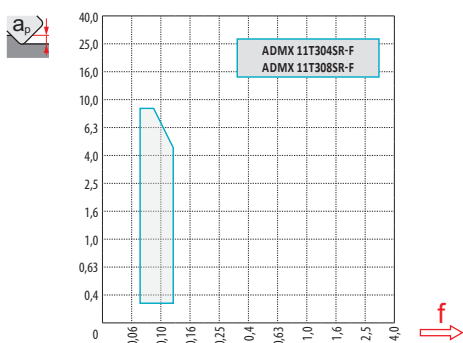
HFC		f_{min}	f_{max}	M9325	M9340	M8310	M8330	M8340	8215	8230
P	●	0,45	1,25	308	276	292	296	252	276	264
	●	0,45	1,00	272	248	264	264	224	244	236
	✖	0,45	0,80	240	220	236	228	196	216	204
M	●	0,45	1,25	156	164	148	168	148	164	156
	●	0,45	1,00	140	148	132	151	132	148	140
	✖	0,45	0,80	120	132	120	134	116	128	124
K	●	0,45	1,25	-	-	276	282	240	260	252
	●	0,45	1,00	-	-	252	251	212	232	224
	✖	0,45	0,80	-	-	224	220	184	204	196
N	●	0,45	1,25	-	-	-	744	-	688	664
	●	0,45	1,00	-	-	-	663	-	616	592
	✖	0,45	0,80	-	-	-	578	-	544	516
S	●	0,45	1,20	76	80	72	82	72	80	76
	●	0,45	1,00	68	72	64	73	64	72	68
	✖	0,45	0,80	60	64	60	65	56	64	60
H	●	0,40	1,00	-	-	56	52	-	52	52
	●	0,40	0,80	-	-	52	44	-	48	44
	✖	0,40	0,60	-	-	44	40	-	40	40



$\frac{a_e}{D}$	0,05	0,10	0,15	0,20	0,25	0,30	0,40	0,50	0,60	0,70	0,75	0,80	0,90	1,00
	1,48	1,35	1,27	1,22	1,19	1,16	1,11	1,08	1,05	1,03	1,00	1,00	1,00	1,00
	2,87	2,05	1,69	1,48	1,33	1,23	1,09	0,75	0,94	0,90	0,89	0,88	0,88	1,00
	0,64	0,64	0,64	0,64	0,64	0,65	0,65	0,67	0,68	0,71	0,72	0,74	0,79	1,00

	ADMX 11-F		ADMX 11-M								ADMX 11-R		ADMX 11-MF		
r_f	0,4	0,8	0,2	0,4	0,8	1,0	1,2	1,6	2,0	2,5	3,0	0,8	1,6	0,4	0,8
$\frac{a}{D}$	1,89	1,48	2,09	1,89	1,48	1,27	1,08	0,68	1,61	1,13	0,66	1,48	0,68	1,89	1,48

	ADMX 11-MM				ADEX 11-HF	ADEX 11-HF2	ADEX 11-FA			
r_f	0,4	0,8	1,2	1,6	0,8	0,8	0,4	0,8	1,2	1,6
$\frac{a}{D}$	1,89	1,48	1,08	0,61	0,17	0,17	1,77	1,39	1,0	0,62



max.

4,5



1,0 5,0 9,0



0,20 0,13 0,10



HFC



α_{max}

a_p/l

16

13,5

9,0/40

18

10,0

9,0/53

20

9,0

9,0/59

25

6,0

9,0/87

32

5,3

9,0/99

40

3,8

6,5/100

50

2,8

4,7/100

63

1,8

3,0/100

80

1,6

2,6/100



α_{max}

a_p/l

4,1

5,7

0,6/8

2,8

4,5

0,6/12

2,3

4,3

0,6/15

1,3

6,7

0,6/26

0,7

4,3

0,6/49

0,3

2,9

0,6/100

0,1

2,1

0,6/100

-

-

-

-

-

-



$\varnothing D$	d_{min}	d_{max}	$\frac{S_{max}}{d_{min}}$	$\frac{S_{max}}{d_{max}}$
16	27,0	32,0	8,3	9,0
18	32,0	36,0	7,5	9,0
20	35,0	40,0	7,5	9,0
25	45,0	50,0	6,5	7,5
32	59,0	64,0	4,0	4,5
40	75,0	80,0	1,5	2,0
50	-	-	-	-



a_p
1,7

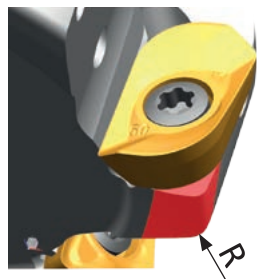
HFC			
d_{min}	d_{max}	$\frac{S_{max}}{d_{min}}$	$\frac{S_{max}}{d_{max}}$
21,0	32,0	0,6	0,6
29,0	36,0	0,6	0,6
29,0	40,0	0,6	0,6
39,0	50,0	0,6	0,6
53,0	64,0	0,6	0,6
68,5	80,0	0,6	0,6
88,5	100,0	0,6	0,6



$\varnothing D$	μm	3	5	10	15	20	30	40	50	60	80	100
16		0,438	0,566	0,800	0,980	1,131	1,386	1,600	1,789	1,960	2,263	2,530
18		0,465	0,600	0,849	1,039	1,200	1,470	1,697	1,897	2,078	2,400	2,683
20		0,490	0,632	0,894	1,095	1,265	1,549	1,789	2,000	2,191	2,530	2,828
20		0,490	0,632	0,894	1,095	1,265	1,549	1,789	2,000	2,191	2,530	2,828
25		0,548	0,707	1,000	1,225	1,414	1,732	2,000	2,236	2,449	2,828	3,162
32		0,620	0,800	1,131	1,386	1,600	1,960	2,263	2,530	2,771	3,200	3,578
40		0,693	0,894	1,265	1,549	1,789	2,191	2,530	2,828	3,098	3,578	4,000
50		0,775	1,000	1,414	1,732	2,000	2,449	2,828	3,162	3,464	4,000	4,472
63		0,869	1,122	1,587	1,944	2,245	2,750	3,175	3,550	3,888	4,490	5,020
80		0,980	1,265	1,789	2,191	2,530	3,098	3,578	4,000	4,382	5,060	5,657

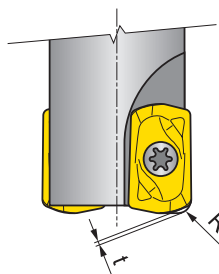
r_e	μm	3	5	10	15	20	30	40	50	60	80	100
1,0		0,155	0,200	0,283	0,346	0,400	0,490	0,566	0,632	0,693	0,800	0,894
1,2		0,170	0,219	0,310	0,379	0,438	0,537	0,620	0,693	0,759	0,876	0,980
1,6		0,196	0,253	0,358	0,438	0,506	0,620	0,716	0,800	0,876	1,012	1,131
2,0		0,219	0,283	0,400	0,490	0,566	0,693	0,800	0,894	0,980	1,131	1,265
2,5		0,245	0,316	0,447	0,548	0,632	0,775	0,894	1,000	1,095	1,265	1,414
3,0		0,268	0,346	0,490	0,600	0,693	0,849	0,980	1,095	1,200	1,386	1,549

i



ADMX/ADEX 11	R
ADMX 11T320SR-M	1,0
ADMX 11T325SR-M	1,8
ADMX 11T330SR-M	1,8
ADEX 11T308SR-HF	1,4
ADEX 11T308SR-HF2	1,4

i



ADEX 11	R	t
	[mm]	[mm]
ADEX 11T308SR-HF	1,42	0,35
ADEX 11T308SR-HF2	1,34	0,38